

# Pengaruh Bentuk *Bracing* terhadap Kinerja Seismik Struktur Beton Bertulang

DARIN ARYANDI, BERNARDINUS HERBUDIMAN

Jurusan Teknik Sipil, Institut Teknologi Nasional, Bandung  
Email: darin.aryandi@gmail.com

## ABSTRAK

*Sistem rangka bresing baja konsentrik merupakan salah satu sistem struktur tahan gempa yang biasanya digunakan di Indonesia. Bresing konsentrik memiliki ragam bentuk diantaranya tipe Z, X, V dan Λ. Penelitian ini bertujuan mengetahui kapasitas dan kinerja seismik struktur masing-masing bentuk bresing melalui pemodelan analisis pushover. Objek penelitian membandingkan 2 tipe struktur simetris yaitu tipe 1 berupa portal terbuka dan tipe 2 berupa portal terbuka yang dikombinasikan dengan bentuk-bentuk bresing konsentrik. Hasil penelitian menunjukkan bresing bentuk X memiliki sifat paling kaku untuk arah UX dan UY dengan rasio sebesar 0,34 dan 0,41 dari struktur tipe 1, sedangkan bresing bentuk Λ memiliki sifat paling duktile diantara bentuk bresing lainnya. Kapasitas gaya geser lantai dasar mengalami peningkatan paling besar untuk bresing bentuk X dengan rasio sebesar 1,63 untuk arah UX dan UY. Level kinerja untuk struktur tipe 1 dan 2 adalah immediate occupancy berdasarkan metode ATC-40.*

**Kata kunci:** bresing, pushover, simetris

## ABSTRACT

*Concentrically steel bracing system is one of earthquake-resistant structure system that usually used in Indonesia. Concentrically bracing have a variety of shape configuration including Z-type, X, V and Λ. The purpose of this study is to determine structural capacity and seismic performance building for each bracing configuration with pushover analysis. The object of this study have two different symmetrical structures that is open frame for type 1 and type 2 is combined open frame with concentrically bracing configuration variety. The study result show that X-brace has the most rigid for direction UX and UY with ratio is 0.34, 0.41 of the structure type 1, while Λ-brace has the most ductile between other bracing configuration. The most increase base shear capacity has a X-brace with ratio is 1.63 for direction UX and UY. Performance level for structure type 1 and 2 is immediate occupancy according to ATC-40 method.*

**Keywords:** bracing, pushover, symmetric

## 1. PENDAHULUAN

Perkembangan penduduk di Indonesia yang semakin tinggi menjadi salah satu tuntutan dilaksanakannya pembangunan gedung perkantoran demi memenuhi kebutuhan lapangan pekerjaan seiring meningkatnya usia produktif. Gedung perkantoran bertingkat tinggi merupakan salah satu alternatif untuk memenuhi kebutuhan penduduk terutama di daerah perkotaan akibat terbatasnya lahan yang ada.

Tantangan yang dihadapi oleh konstruksi gedung bertingkat tinggi di Indonesia adalah ancaman bencana alam gempa bumi. Hal ini dikarenakan sebagian besar wilayah Indonesia dilewati oleh beberapa pertemuan lempeng tektonik dan banyaknya gunung berapi aktif yang menyebabkan sering terjadi gempa bumi.

Terlepas dari ancaman gempa bumi, diperlukan usaha untuk memenuhi kebutuhan berupa bangunan bertingkat tinggi yang tahan terhadap pengaruh gempa. Salah satu cara agar bangunan gedung bertingkat tinggi aman terhadap gempa bumi adalah dengan menambahkan baja pengaku/bresing (*bracing*) tipe konsentrik pada struktur bangunan. Bresing dapat meminimalisir besarnya simpangan horizontal (*displacement*) dan meningkatkan kapasitas gaya geser lantai dasar (*base shear*) pada struktur sehingga kemungkinan terjadi retak (*crack*) pada sambungan antara balok dan kolom yang menyebabkan kegagalan struktur dapat dihindari.

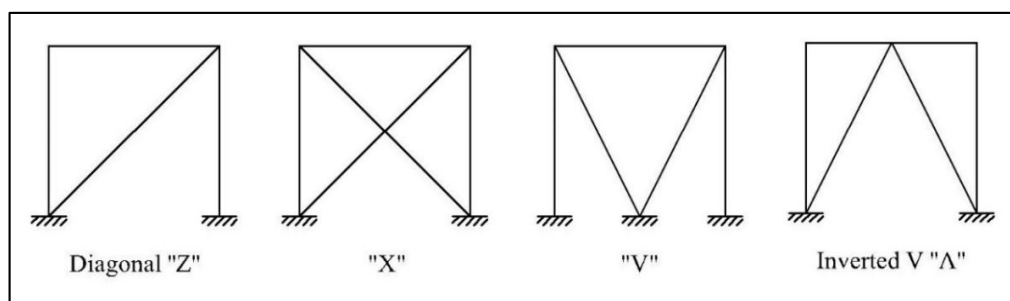
Bresing konsentrik memiliki beberapa bentuk umumnya yaitu "Z" atau diagonal, "X", "V" dan *inverted V* " $\Lambda$ ". Hasil penelitian Kalibhat et al (2014) menunjukkan nilai *displacement* dan *base shear* pada kurva kapasitas struktur akan menghasilkan kurva histeritik bresing tipe *inverted V* cenderung lebih luas dibandingkan dengan bresing tipe "X". Penelitian ini menganalisis kinerja struktur berbagai bentuk bresing konsentrik yang ditempatkan pada sudut denah struktur dengan tujuan tidak mengganggu komponen arsitektural.

## 2. TINJAUAN PUSTAKA

### 2.1 Sistem Rangka Bresing Konsentrik (*Concentrically Bracing System*)

Bresing merupakan salah satu sistem struktur tahan gempa pada konstruksi bangunan. Umumnya ditempatkan menyilang (diagonal) dengan konfigurasi bervariatif pada bagian dalam portal struktur. Penggunaan bresing menambah kekakuan suatu portal secara efisien, karena pemasangan secara diagonal menyebabkan batang bresing hanya akan menahan gaya aksial saat melayani gaya geser horizontal (Smith and Coull, 1991).

Bresing konsentrik umumnya memiliki bentuk Z (diagonal), X, V dan *inverted V* ( $\Lambda$ ) seperti pada **Gambar 1**.



Gambar 1. Ragam bentuk bresing konsentrik

## 2.2 Sendi Plastis

Sendi plastis terjadi apabila kuat leleh pada suatu titik dalam elemen struktur telah tercapai, sehingga kekuatannya sudah tidak bertambah lagi tetapi regangan masih dapat bertambah. Pada struktur gedung beton bertulang sendi plastis terjadi jika respon struktur berada pada fase inelastis yang dimulai dengan lelehnya tulangan tarik (Hajati, 2015). Sendi plastis diharapkan terjadi pada ujung balok, kolom dan bresing dengan jarak diestimasikan setengah dari tinggi penampang elemen (Paulay and Priestley, 1992). Mekanisme tahapan perubahan sendi plastis dimulai pada ujung balok kemudian setelah sebagian besar/se semua balok berada pada fase pasca-elastis, selanjutnya akan terjadi pada kolom yang dimulai dari kaki kolom lantai dasar (SNI 1726, 2002).

## 2.3 Level Kinerja Struktur

ATC-40 memaparkan secara garis besar 4 kriteria dalam batasan level kinerja struktur, yaitu:

- (1) *Operational*  
merupakan kondisi dimana dapat diindikasikan tidak ada kerusakan struktural maupun non-struktural yang berarti pada struktur;
- (2) *Immediate Occupancy* (IO)  
merupakan kondisi dimana diindikasikan tidak ada kerusakan berarti pada struktur. Kekuatan dankekakuan struktur kira-kira sama dengan kondisi sebelum terjadi gempa bumi. Komponen non-struktural masih berada pada tempatnya dan sebagian besar masih berfungsi jika utilitasnya masih ada. Bangunan tetap dapat berfungsi tanpa terganggu masalah perbaikan;
- (3) *Life Safety* (LS)  
merupakan kondisi dimana diindikasikan telah terjadi kerusakan pada elemen struktur tetapi masih bersifat daktail. Komponen non-struktural masih ada tetapi sudah tidak berfungsi. Bangunan bisa digunakan kembali setelah perbaikan;
- (4) *Collapse Prevention* (CP)  
merupakan kondisi dimana diindikasikan telah terjadi kerusakan pada elemen struktural dan non-struktural. Bangunan hampir runtuh dan sudah tidak dapat digunakan kembali.

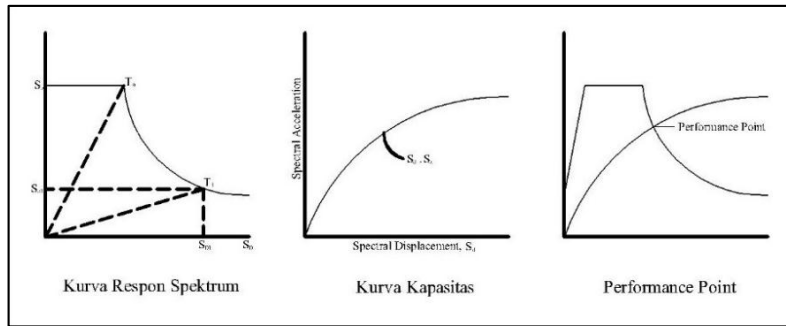
## 2.4 Analisis *Pushover*

Analisis *Pushover* atau beban statik dorong merupakan suatu analisis statik non-linier dimana pengaruh gempa terhadap struktur dimodelkan sebagai beban-beban statik pada pusat masa setiap lantai. Nilai beban-beban tersebut ditingkatkan secara berangsur sampai terjadi leleh (sendi plastis) tahap pertama dalam struktur bangunan gedung, kemudian dengan peningkatan beban lebih lanjut mengalami perubahan pasca-elastis sampai mencapai kondisi plastis (Pranata, 2006).

Hasil yang diperoleh dari *pushover analysis* berupa kurva kapasitas hubungan antara gaya geser lantai dasar (*base shear*) dengan simpangan atap (*roof displacement*). Lengkung kurva menunjukkan perubahan perilaku struktur linier menjadi non-linier berupa penurunan kekakuan dan terbentuknya sendi plastis pada kolom, balok maupun bresing.

## 2.5 Performance Point

*Performance point* merupakan titik perpotongan antara kurva respon spektrum gempa dengan kurva kapasitas struktur. Metode penentuan kinerja struktur menggunakan ATC-40 (1996) dengan ketentuan kurva respon spektrum dan kurva kapasitas dikonversi menjadi format *Acceleration-Displacement Response Spectra* (ADRS) seperti pada **Gambar 2**. Informasi yang dapat diperoleh dari *performance point* adalah periode getar, redaman efektif akibat perubahan kekakuan struktur setelah terjadi sendi plastis, dan pemeriksaan tingkat kerusakan izin.

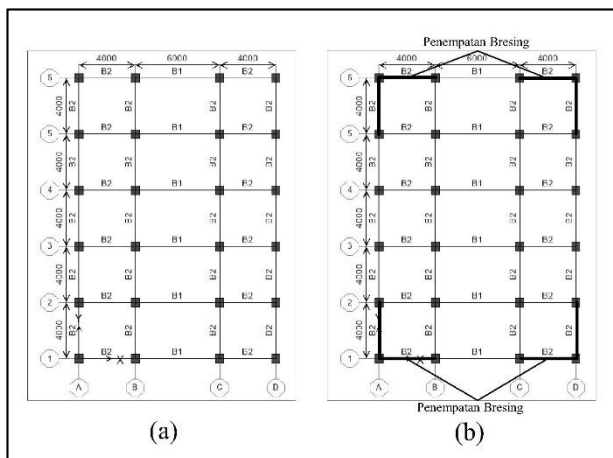


**Gambar 2. Kurva respon spektrum, kapasitas dan *performance point***

### 3. METODE PENELITIAN

#### 3.1 Pemodelan Struktur

Struktur yang dianalisis meliputi tipe 1 yaitu Sistem Rangka Pemikul Momen Khusus (SRPMK) berupa portal terbuka dan tipe 2 yaitu Sistem Rangka Bresing Konsentrik Khusus (SRBKK) dengan bentuk bresing Z, X, V dan  $\Lambda$  yang diletakkan pada sudut denah struktur. Lima struktur yang dianalisis menggunakan gedung setinggi 10 lantai yang difungsikan sebagai perkantoran. Denah struktur yang dianalisis dapat dilihat pada **Gambar 3a** dan **Gambar 3b**.



**Gambar 3a. Denah struktur tipe 1 SRPMK portal terbuka**

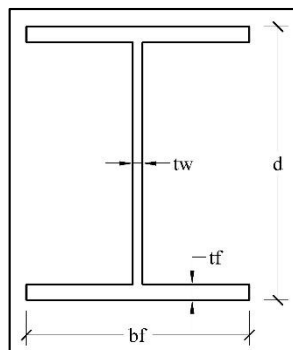
**Gambar 3b. Denah struktur tipe 2 SRBKK bentuk Z, X, V dan  $\Lambda$**

Data umum, mutu material dan dimensi penampang disajikan pada **Tabel 1**.

**Tabel 1. Data Struktur**

| <b>Data Umum, Mutu dan Penampang</b> |                                 |
|--------------------------------------|---------------------------------|
| Jumlah lantai                        | 10 lantai                       |
| Tinggi per-lantai                    | 4 m                             |
| Fungsi gedung                        | perkantoran                     |
| Mutu beton ( $f_c$ )                 | 300 kg/cm <sup>2</sup> (25 MPa) |
| Mutu tulangan ( $f_y$ )              | 400 MPa                         |
| Mutu bresing                         | Baja A36                        |
| Dimensi kolom K1                     | 600 x 600 mm                    |
| Dimensi balok B1                     | 400 x 600 mm                    |
| Dimensi balok B2                     | 300 x 500 mm                    |
| Tebal pelat lantai                   | 120 mm                          |
| Profil bresing                       | W8 x 28                         |

Rincian data mutu baja dan properti penampang bresing dapat dilihat pada **Gambar 4** dan **Tabel 2** berikut.

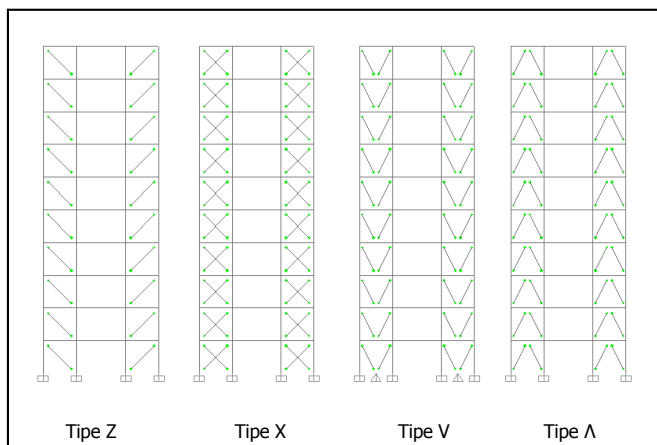


**Gambar 4. Penampang bresing**

**Tabel 2. Data Bresing**

| Parameter | Nilai               |
|-----------|---------------------|
| $f_y$     | 36 ksi (250 MPa)    |
| $f_u$     | 58 ksi (400 MPa)    |
| $d$       | 8,06 in (203,2 mm)  |
| $t_w$     | 0,285 in (7,239 mm) |
| $b_f$     | 6,54 in (165,1 mm)  |
| $t_f$     | 0,465 in (11,81 mm) |

Pemodelan bresing diasumsikan memiliki perletakan sendi pada kedua ujungnya dan tidak didesain untuk memikul gaya tekan. Tampak depan pemodelan untuk semua bentuk bresing dapat dilihat pada **Gambar 5**.



**Gambar 5. Tampak depan pemodelan bresing**

### 3.2 Pembebanan Akibat Gravitasi

Beban-beban akibat gravitasi yang bekerja pada struktur antara lain beban mati (*DEAD*), beban hidup (*LIVE*) dan beban mati tambahan (*SDL*). Balok memikul beban mati tambahan dinding setengah bata merah dengan berat jenis sebesar  $250 \text{ kg/m}^2$  sedangkan pelat lantai memikul beban mati tambahan (keramik, spesi, langit-langit) sebesar  $66 \text{ kg/m}^2$  dan beban hidup perkantoran sebesar  $4,79 \text{ kN/m}^2$  kecuali lantai atap sebesar  $0,96 \text{ kN/m}^2$  akibat beban hidup air hujan (SNI 1727, 2013).

### 3.3 Mendefinisikan Sendi Plastis

Sendi plastis pada balok dikenakan beban momen M3 (sendi plastis terjadi diakibatkan oleh momen searah sumbu lokal 3), sedangkan kolom dikenakan beban P-M2-M3 dan bresing dikenakan beban P. Jarak sendi plastis didefinisikan dengan panjang setengah tinggi penampang dari ujung elemen. Khusus untuk bresing V dan Λ, pemodelan sendi plastis balok ditambahkan pada daerah join bresing (tengah bentang) dengan tujuan pendekatan akibat ketidak-seimbangan gaya-gaya pada balok akibat gaya aksial bresing (Hewitt et al, 2009).

### 3.4 Pembebanan Non-linier *Pushover*

Pembebanan statik *pushover* menggunakan 2 tahap yaitu akibat beban gravitasi dan beban lateral. Beban gravitasi menggunakan jenis *full load* sedangkan beban lateral menggunakan jenis *displacement control* karena besarnya beban dibatasi oleh simpangan atap maksimum.

## 4. HASIL ANALISIS DAN PEMBAHASAN

### 4.1 Tahapan Keruntuhan

Tahapan keruntuhan struktur berdasarkan distribusi terbentuknya sendi plastis arah UX disajikan pada **Tabel 3** untuk SRPMK. Sedangkan SRBKK pada **Tabel 4** untuk bentuk Z, **Tabel 5** untuk bentuk X, **Tabel 6** untuk bentuk V dan **Tabel 7** untuk bentuk Λ.

**Tabel 3. Tahap Keruntuhan Berdasarkan Distribusi Sendi Plastis Struktur SRPMK**

| Step | Disp.<br>mm | BaseForce<br>kN | AtoB | BtoIO | IOtoLS | LStoCP | CPtoC | CtoD | DtoE | >E | Total |
|------|-------------|-----------------|------|-------|--------|--------|-------|------|------|----|-------|
| 0    | 0,009       | 0,0             | 1240 | 0     | 0      | 0      | 0     | 0    | 0    | 0  | 1240  |
| 1    | 29,499      | 1.351,6         | 1236 | 4     | 0      | 0      | 0     | 0    | 0    | 0  | 1240  |
| 2    | 51,473      | 2.099,6         | 1130 | 74    | 36     | 0      | 0     | 0    | 0    | 0  | 1240  |
| 3    | 157,259     | 3.448,5         | 960  | 48    | 74     | 44     | 114   | 0    | 0    | 0  | 1240  |
| 4    | 261,165     | 4.290,1         | 910  | 28    | 66     | 12     | 218   | 6    | 0    | 0  | 1240  |
| 5    | 436,749     | 5.325,1         | 892  | 6     | 58     | 16     | 244   | 24   | 0    | 0  | 1240  |
| 6    | 545,924     | 5.925,8         | 850  | 29    | 46     | 11     | 280   | 24   | 0    | 0  | 1240  |
| 7    | 653,714     | 6.468,2         | 808  | 33    | 49     | 13     | 313   | 20   | 0    | 4  | 1240  |
| 8    | 748,472     | 6.859,4         | 756  | 49    | 48     | 18     | 339   | 24   | 0    | 6  | 1240  |
| 9    | 748,918     | 6.860,7         | 756  | 49    | 48     | 18     | 339   | 24   | 0    | 6  | 1240  |

**Tabel 4. Tahap Keruntuhan Berdasarkan Distribusi Sendi Plastis Struktur SRBKK Tipe Z**

| Step | Disp.<br>mm | BaseForce<br>kN | AtoB | BtoIO | IOtoLS | LStoCP | CPtoC | CtoD | DtoE | >E | Total |
|------|-------------|-----------------|------|-------|--------|--------|-------|------|------|----|-------|
| 0    | 0,021       | 0,0             | 1400 | 0     | 0      | 0      | 0     | 0    | 0    | 0  | 1400  |
| 1    | 24,079      | 1.689,4         | 1400 | 0     | 0      | 0      | 0     | 0    | 0    | 0  | 1400  |
| 2    | 56,495      | 3.389,1         | 1200 | 148   | 52     | 0      | 0     | 0    | 0    | 0  | 1400  |
| 3    | 159,175     | 6.193,9         | 1030 | 66    | 184    | 66     | 54    | 0    | 0    | 0  | 1400  |
| 4    | 242,056     | 7.775,0         | 980  | 46    | 106    | 44     | 222   | 2    | 0    | 0  | 1400  |
| 5    | 275,119     | 8.273,9         | 980  | 28    | 110    | 28     | 252   | 2    | 0    | 0  | 1400  |

**Tabel 5. Tahap Keruntuhan Berdasarkan Distribusi Sendi Plastis Struktur SRBKK Tipe X**

| Step | Disp.<br>mm | BaseForce<br>kN | AtoB | BtoIO | IOtoLS | LStoCP | CPtoC | CtoD | DtoE | >E | Total |
|------|-------------|-----------------|------|-------|--------|--------|-------|------|------|----|-------|
| 0    | 0,021       | 0,0             | 1560 | 0     | 0      | 0      | 0     | 0    | 0    | 0  | 1560  |
| 1    | 17,391      | 1.401,0         | 1560 | 0     | 0      | 0      | 0     | 0    | 0    | 0  | 1560  |
| 2    | 118,983     | 6.935,0         | 1244 | 72    | 238    | 6      | 0     | 0    | 0    | 0  | 1560  |
| 3    | 223,795     | 10.577,2        | 1134 | 66    | 126    | 54     | 178   | 2    | 0    | 0  | 1560  |
| 4    | 252,313     | 11.215,1        | 1110 | 70    | 116    | 40     | 220   | 4    | 0    | 0  | 1560  |

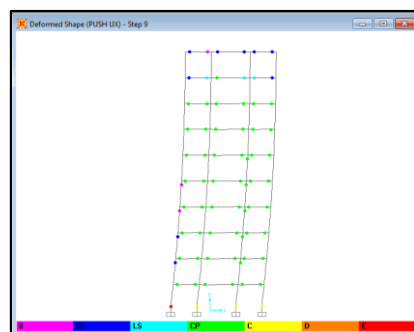
**Tabel 6. Tahap Keruntuhan Berdasarkan Distribusi Sendi Plastis Struktur SRBKK Tipe V**

| Step | Disp.<br>mm | BaseForce<br>kN | AtoB | BtoIO | IOtoLS | LStoCP | CPtoC | CtoD | DtoE | >E | Total |
|------|-------------|-----------------|------|-------|--------|--------|-------|------|------|----|-------|
| 0    | 0,014       | 0,0             | 1704 | 0     | 0      | 0      | 0     | 0    | 0    | 0  | 1704  |
| 1    | 11,677      | 597,9           | 1704 | 0     | 0      | 0      | 0     | 0    | 0    | 0  | 1704  |
| 2    | 39,554      | 1.997,8         | 1620 | 72    | 12     | 0      | 0     | 0    | 0    | 0  | 1704  |
| 3    | 140,634     | 3.601,8         | 1412 | 52    | 98     | 52     | 90    | 0    | 0    | 0  | 1704  |
| 4    | 243,965     | 4.683,1         | 1350 | 32    | 76     | 14     | 232   | 0    | 0    | 0  | 1704  |
| 5    | 346,386     | 5.582,9         | 1302 | 34    | 66     | 6      | 296   | 0    | 0    | 0  | 1704  |
| 6    | 452,639     | 6.398,7         | 1258 | 35    | 52     | 12     | 325   | 22   | 0    | 0  | 1704  |
| 7    | 553,042     | 7.074,3         | 1214 | 41    | 65     | 6      | 346   | 32   | 0    | 0  | 1704  |
| 8    | 598,011     | 7.342,2         | 1196 | 51    | 57     | 18     | 342   | 40   | 0    | 0  | 1704  |

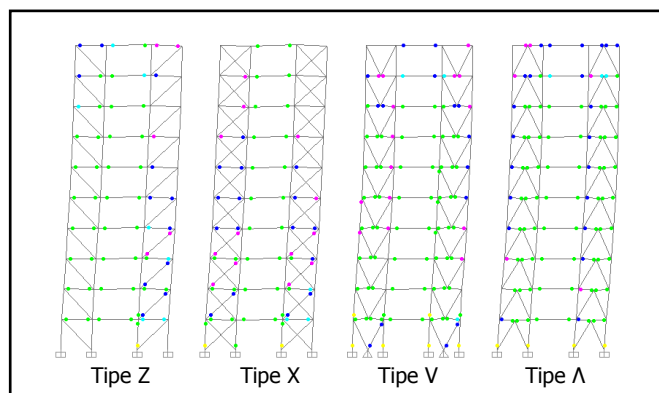
**Tabel 7. Tahap Keruntuhan Berdasarkan Distribusi Sendi Plastis Struktur SRBKK Tipe A**

| Step | Disp.<br>mm | BaseForce<br>kN | AtoB | BtoIO | IOtoLS | LStoCP | CPtoC | CtoD | DtoE | >E | Total |
|------|-------------|-----------------|------|-------|--------|--------|-------|------|------|----|-------|
| 0    | 0,015       | 0,0             | 1720 | 0     | 0      | 0      | 0     | 0    | 0    | 0  | 1720  |
| 1    | 9,697       | 491,2           | 1720 | 0     | 0      | 0      | 0     | 0    | 0    | 0  | 1720  |
| 2    | 39,933      | 1.965,6         | 1634 | 70    | 16     | 0      | 0     | 0    | 0    | 0  | 1720  |
| 3    | 143,461     | 3.502,5         | 1412 | 54    | 104    | 42     | 108   | 0    | 0    | 0  | 1720  |
| 4    | 249,686     | 4.484,3         | 1340 | 46    | 64     | 16     | 254   | 0    | 0    | 0  | 1720  |
| 5    | 364,919     | 5.308,2         | 1310 | 42    | 68     | 6      | 270   | 24   | 0    | 0  | 1720  |
| 6    | 469,826     | 5.903,9         | 1294 | 32    | 64     | 18     | 288   | 24   | 0    | 0  | 1720  |
| 7    | 572,572     | 6.475,9         | 1272 | 27    | 70     | 10     | 317   | 24   | 0    | 0  | 1720  |
| 8    | 672,390     | 7.005,7         | 1234 | 31    | 71     | 18     | 342   | 24   | 0    | 0  | 1720  |

Pola keruntuhan struktur arah UX pada saat kondisi maksimum (ambang keruntuhan) secara visual dapat dilihat pada **Gambar 6** untuk SRPMK dan **Gambar 7** untuk SRBKK.



**Gambar 6. Ambang keruntuhan struktur SRPMK**

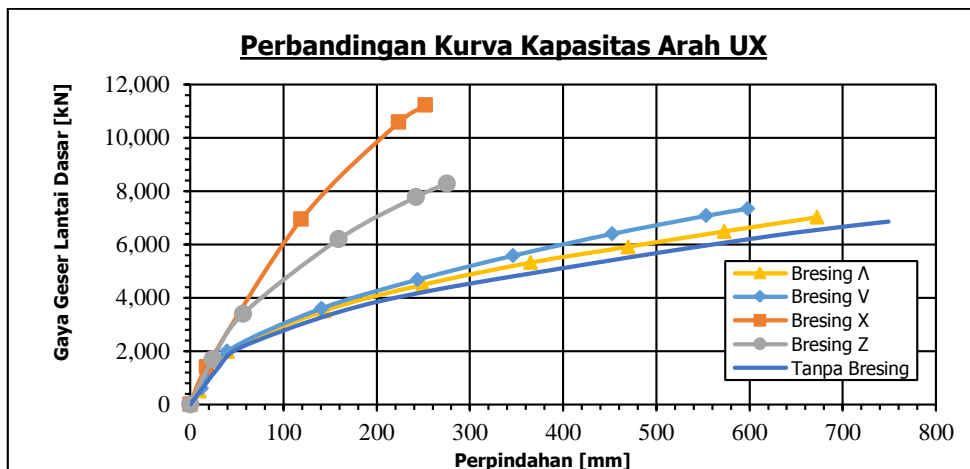


**Gambar 7. Ambang keruntuhan struktur SRBKK**

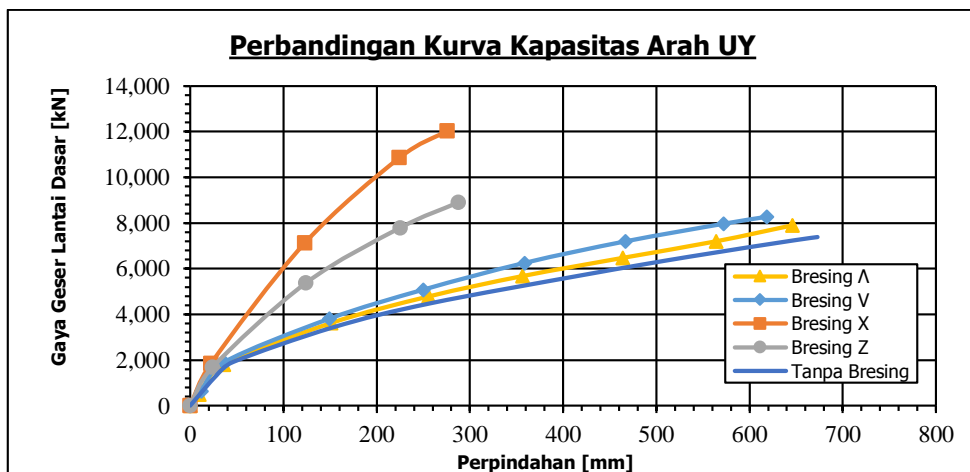
Hasil analisis **Gambar 7** menunjukkan sebagian bresing Z dan X mengalami kondisi plastis akibat gaya tarik pada saat struktur diambil keruntuhan. Bresing V hanya mengalami kondisi plastis pada portal lantai dasar karena hanya pada portal tersebut bresing tidak terpengaruhi langsung oleh balok sedangkan bresing  $\Lambda$  tidak mengalami kondisi plastis, hal ini dikarenakan kapasitas penampang balok tidak mampu memikul beban momen M3 akibat gaya aksial bresing seperti yang terjadi pada bresing V di lokasi selain lantai dasar.

#### 4.2 Perbandingan Kurva Kapasitas

Perbandingan kurva kapasitas untuk 5 sistem struktur yang dianalisis dapat dilihat pada **Gambar 8** untuk arah UX dan **Gambar 9** untuk arah UY.



Gambar 8. Perbandingan kurva kapasitas arah UX



Gambar 9. Perbandingan kurva kapasitas arah UY

Dari **Gambar 8** dan **Gambar 9** diperoleh rasio perpindahan maksimum dan gaya geser lantai dasar maksimum untuk struktur SRBKK bentuk Z, X, V dan  $\Lambda$  terhadap SRPMK pada **Tabel 8** dan **Tabel 9**.

Tabel 8. Rasio Perpindahan Maksimum

| Arah | SRPMK | SRBKK  |        |        |                |
|------|-------|--------|--------|--------|----------------|
|      |       | Tipe Z | Tipe X | Tipe V | Tipe $\Lambda$ |
| UX   | 1,00  | 0,37   | 0,34   | 0,80   | 0,90           |
| UY   | 1,00  | 0,43   | 0,41   | 0,92   | 0,96           |

**Tabel 9. Rasio Gaya Geser Lantai Dasar Maksimum**

| Arah | SRPMK | SRBKK  |        |        |        |
|------|-------|--------|--------|--------|--------|
|      |       | Tipe Z | Tipe X | Tipe V | Tipe Λ |
| UX   | 1,00  | 1,21   | 1,63   | 1,07   | 1,02   |
| UY   | 1,00  | 1,20   | 1,63   | 1,12   | 1,07   |

**Tabel 8** menunjukkan bresing X memiliki kekakuan paling tinggi yang ditunjukan dengan rasio perpindahan maksimum sebesar 0,34 dan 0,41 untuk arah UX dan UY terhadap struktur tanpa bresing (SRPMK), hal ini disebabkan konfigurasi bresing yang selang seling pada satu portal dengan ke-4 tumpuan tepat di join balok-kolom. Sedangkan bresing Λ paling daktail dibandingkan bresing lainnya disebabkan salah satu join bresing bertumpu pada balok (efektifitas kekuatan bresing tergantung kapasitas penampang balok). Perilaku bresing X dan Λ sesuai dengan penelitian sebelumnya oleh Kalibhat et al (2014). Bresing Z memiliki konfigurasi tidak selang seling dengan ke-2 tumpuan pada join balok-kolom sehingga hasil menunjukan kekakuan bresing Z diantara bresing X dan Λ. Bresing V memiliki perilaku mirip dengan bresing Λ karena konfigurasi tipikal sama.

**Tabel 9** menunjukan kapasitas gaya geser lantai dasar meningkat untuk semua bresing yang dianalisis (SRBKK). Bresing X memiliki rasio kenaikan paling tinggi sebesar 1,63 untuk ke-2 arah UX dan UY terhadap struktur tanpa bresing, hal ini disebabkan akibat kekakuan tinggi dan volume bresing paling besar yang menyebabkan gaya lateral tereduksi oleh massa struktur.

#### 4.3 Performance Point

Nilai parameter-parameter yang diperoleh dari kurva *performance point* berdasarkan metode ATC-40 disajikan pada **Tabel 10** untuk SRPMK dan **Tabel 11** untuk SRBKK.

**Tabel 10. Performance Point Struktur Tipe 1 SRPMK**

| Parameter                   | PUSH UX | PUSH UY |
|-----------------------------|---------|---------|
| $V$ [kN]                    | 3.176   | 3.211   |
| $D$ [mm]                    | 135,919 | 137,634 |
| $S_a$ [m/det <sup>2</sup> ] | 0,173   | 0,175   |
| $S_d$ [mm]                  | 110,756 | 112,366 |
| $t_{eff}$ [det]             | 1,567   | 1,576   |
| $\beta_{eff}$ [%]           | 0,16    | 0,155   |

**Tabel 11. Performance Point Struktur Tipe 2 SRBKK**

| Parameter                   | SRBKK Tipe Z |         | SRBKK Tipe X |         | SRBKK Tipe V |         | SRBKK Tipe Λ |         |
|-----------------------------|--------------|---------|--------------|---------|--------------|---------|--------------|---------|
|                             | PUSH UX      | PUSH UY |
| $V$ [kN]                    | 5.197,7      | 5.489,6 | 7.120,1      | 7.001,5 | 3.436,1      | 3.509,8 | 3.335,8      | 3.383,7 |
| $D$ [mm]                    | 122,709      | 129,329 | 124,31       | 120,586 | 130,194      | 131,745 | 132,231      | 136,280 |
| $S_a$ [m/det <sup>2</sup> ] | 0,261        | 0,275   | 0,357        | 0,351   | 0,186        | 0,191   | 0,179        | 0,182   |
| $S_d$ [mm]                  | 92,686       | 98,775  | 91,39        | 89,009  | 106,328      | 107,609 | 108,599      | 111,772 |
| $t_{eff}$ [det]             | 1,164        | 1,199   | 1,012        | 1,008   | 1,491        | 1,466   | 1,538        | 1,536   |
| $\beta_{eff}$ [%]           | 0,112        | 0,099   | 0,072        | 0,078   | 0,158        | 0,145   | 0,162        | 0,149   |

#### 4.4 Level Kinerja Struktur

ATC-40 memberikan batasan level kinerja struktur berdasarkan rasio simpangan (*drift*) atap dengan rincian pada **Tabel 12**.

**Tabel 12. Kriteria Level Kinerja Struktur**

| Parameter               | Displacement |                |          |                            |
|-------------------------|--------------|----------------|----------|----------------------------|
|                         | IO           | Damage Control | LS       | Structural Stability       |
| Maximum Drift           | < 0,01       | 0,01 - 0,019   | 0,02     | 0,33 ( $\frac{V_f}{P_f}$ ) |
| Maximum Inelastic Drift | < 0,005      | 0,005 - 0,015  | No Limit | No Limit                   |

Persamaan untuk menentukan nilai kriteria batasan level kinerja struktur adalah sebagai berikut:

$$\text{Maximum drift} = \frac{S_d}{H} \quad \dots (1)$$

$$\text{Maximum inelastic drift} = \frac{S_d - d_1}{H} \quad \dots (2)$$

halmana:

$S_d$  = spectral displacement [mm],

$d_1$  = displacement pada tahap B (peleahan pertama) [mm],

$H$  = tinggi struktur [mm].

Berdasarkan **Persamaan 1** dan **Persamaan 2** diperoleh level kinerja untuk semua struktur yang dianalisis, ditampilkan pada **Tabel 13**.

**Tabel 13. Level Kinerja Struktur**

| Tipe Struktur | UX            |               |                     |               | UY            |               |                     |               |
|---------------|---------------|---------------|---------------------|---------------|---------------|---------------|---------------------|---------------|
|               | Maximum Drift | Level Kinerja | Max Inelastic Drift | Level Kinerja | Maximum Drift | Level Kinerja | Max Inelastic Drift | Level Kinerja |
| Tanpa Bresing | 0,003         | IO            | 0,002               | IO            | 0,003         | IO            | 0,002               | IO            |
| Bresing Z     | 0,002         | IO            | 0,001               | IO            | 0,002         | IO            | 0                   | IO            |
| Bresing X     | 0,002         | IO            | 0                   | IO            | 0,002         | IO            | 0                   | IO            |
| Bresing V     | 0,003         | IO            | 0,002               | IO            | 0,003         | IO            | 0,002               | IO            |
| Bresing Λ     | 0,003         | IO            | 0,002               | IO            | 0,003         | IO            | 0,002               | IO            |

## 5. KESIMPULAN

Kesimpulan yang dapat diambil dari penelitian ini adalah:

- (1) sistem struktur tipe 2 berupa Sistem Rangka Bresing Konsentrik Khusus (SRBKK) tipe X memiliki perpindahan (*displacement*) maksimum lebih kecil dibandingkan sistem struktur tipe 1 dan bresing lainnya (**Tabel 8**);
- (2) kapasitas gaya geser lantai dasar (*base shear*) maksimum sistem struktur bresing X mengalami peningkatan dibandingkan dengan sistem struktur lainnya (**Tabel 9**);
- (3) kinerja struktur tipe 1 dan tipe 2 berada pada level *Immediate Occupancy* (IO) untuk arah UX dan UY (**Tabel 13**);
- (4) mekanisme semua tipe struktur yang dianalisis mengikuti kaidah kolom kuat balok lemah sesuai ketentuan SNI 1726-2002. Ditunjukkan dengan tahapan terjadinya sendi plastis dimulai pada balok kemudian seiring perubahan sendi plastis berlanjut, diikuti pada kaki kolom lantai dasar dan selanjutnya struktur mengalami keruntuhan (**Gambar 6** dan **Gambar 7**).
- (5) kapasitas penampang balok tidak mampu memikul beban momen M3 akibat gaya aksial bresing untuk bresing V dan Λ (**Gambar 7**).

## DAFTAR RUJUKAN

- ATC-40. (1996). *Seismic Evaluation and Retrofit of Concrete Buildings, Volume 1*. California: Seismic Safety Commission State of California.
- Badan Standarisasi Nasional. (2002). *Standar Perencanaan Ketahanan Gempa untuk Struktur Bangunan Gedung, SNI 1726-2002*. Jakarta: Departemen Pekerjaan Umum.
- Badan Standarisasi Nasional. (2013). *Beban Minimum untuk Perancangan Bangunan Gedung dan Struktur Lain, SNI 1727-2013*. Jakarta: Badan Standarisasi Nasional.
- Hajati, NL. (2015). *Kajian Daktilitas Sistem Portal Berdinding Geser Terhadap Beban Lateral*. Bandung: Jurusan Teknik Sipil Institut Teknologi Nasional.
- Hewitt et al. (2009). *Economy of Steel-Frame Buildings for Seismic Loading, Steel Tips*. Moraga: Structural Steel Education Council.
- Kalibhat et al. (2014). *Seismic Performance of Concentric Braced Steel Frames from Pushover Analysis*. Manipal: Manipal Institute of Technology.
- Paulay and Priestley. (1992). *Seismic Design of Reinforced Concrete and Masonry Building*. New York: John Wiley & Sons, Inc.
- Pranata, YA. (2006). *Evaluasi Kinerja Gedung Beton Bertulang Tahan Gempa dengan Pushover Analysis (Sesuai ATC-40, FEMA 356 dan FEMA 440)*. Bandung: Universitas Kristen Maranatha.
- Smith and Coull. (1991). *Tall Building Structures: Analysis and Design*. New York: John Wiley & Sons, Inc.